

## بررسی گردeshناسی نعناییان از برخی رویشگاه‌های ایران\*

دریافت: ۱۴۰۱/۰۹/۲۱ / پذیرش: ۱۴۰۱/۱۰/۲۴

زهرا حسنی: دانشجوی کارشناسی ارشد گروه زیست‌شناسی، دانشکده علوم، دانشگاه گلستان، گرگان، ایران

زهرا کریمی✉: استادیار گروه زیست‌شناسی، دانشکده علوم، دانشگاه گلستان، گرگان، ایران (z.karimi@gu.ac.ir, karimiln@yahoo.com)

### چکیده

دانه گرده ۳۳ گونه متعلق به ۲۰ جنس از نعناییان، پراکنده در برخی رویشگاه‌های ایران با استفاده از میکروسکوپ نوری و الکترونی روبشی (SEM) مورد بررسی قرار گرفت. ریخت‌شناسی گرده گونه‌های *Hymenocrater oxyodontus*, *Otostegia persica* و مشخصات سطح اگرین در اندازه‌های متغیر قابل توجهی را در دانه‌های گرده به صورت بسیار کوچک، کوچک، متوات طبا نشان داد. به علاوه، در مطالعه حاضر، پنج نوع شکل دانه گرده به صورت دوکی-گرد، نیمه‌دوکی، دوکی-کشیده، مخروطی-گرد و نیمه‌دوکی-پهن مشاهده شد. شیار در دانه‌های گرده اعضای این تیره به دو شکل سه‌شیاری و شش‌شیاری بود، گرچه به صورت هشت‌شیاری نیز در گونه‌های *Ziziphora clinopodioides* و *Z. tenuior* مشاهده شد. ده نوع تزیینات مختلف اگرین نیز به صورت مشبک (reticulate) و ریزمشبک (micro-reticulate) یا حفره‌دار (foveolate)، چاله یا حفره‌دار (rugulate)، چین‌ظریف (rugulose)، دو بار مشبک (bi-reticulate)، حفره‌دار-چین‌دار (micro-foveolate-rugulate) و ریزحفره‌دار-چین‌دار (reticulate-rugulose)، حفره‌دار-چین‌ظریف (foveolate-rugulose) مشاهده شد. این بررسی نشان داد که مشخصات دانه‌های گرده برای کاربردهای طبقه‌بندی ارزشمند بوده و ممکن است ابزار مفیدی برای تمایز بین جنس‌ها و گونه‌ها در طبقه‌بندی نعناییان باشد.

**واژه‌های کلیدی:** اگرین، تزیینات، سه‌شیاری، شش‌شیاری، شکل دانه گرده

## A palynological study of the Lamiaceae in some habitats in Iran

Received: 02.12.2021 / Accepted: 13.04.2022

**Zahra Hasani:** MSc Student, Department of Biology, Faculty of Sciences, Golestan University, Gorgan, Iran

**Zohreh Karimi✉:** Assistant Prof., Department of Biology, Faculty of Sciences, Golestan University, Gorgan, Iran  
(z.karimi@gu.ac.ir, karimiln@yahoo.com)

### Summary

Pollen grains of 33 species belonging to 20 genera of the family Lamiaceae distributed in some habitats in Iran were studied using light and scanning electron microscope. For this purpose, pollen grains of *Otostegia persica*, *Hymenocrater oxyodontus*, and exine sculpture of three species, namely, *Salvia splendens*, *S. hypoleuca*, and *Phlomis herba-venti* subsp. *lenkoranica* were studied for the first time based on pollen morphology. The present study, therefore, showed considerable variation from very small, small, and medium to large size in pollen grains. In addition, the shapes varied from prolate-spheroidal, sub-prolate, sub-spheroidal, and sub-oblanceolate to spheroidal in our study. The pollen grains colps observed into two different shapes i.e. tricolporate and hexocolporate, although octocolporate was observed in two species of *Ziziphora clinopodioides* and *Z. tenuior*. In the present study, 10 different exine ornamentation of pollen grains viz. micro-reticulate, reticulate, foveolate, foveolate-rugulose, foveolate-reticulate, bi-reticulate, rugulate-foveolate rugulose, regulate, and micro-foveolate-rugulose were also found. The present survey, therefore, indicated that, pollen characters are valuable for taxonomic applications and may be a useful tool to differentiate variation between genera and species in the family Lamiaceae classification.

**Keywords:** Exine, hexocolporate, pollen grains shape, sculpture, tricolporate

\* مستخرج از پایان‌نامه کارشناسی ارشد نگارنده نخست به راهنمایی دکتر زهرا کریمی ارایه شده به دانشگاه گلستان

## مقدمه

است. اردمان *Thymus gobicus* Czern. و *Phlomis tuberosa*

(۱۹۴۵) دانه گرده را براساس اندازه به ابعاد بسیار کوچک (زیر ۱۰ میکرومتر)، کوچک (بین ۱۰ تا ۲۵ میکرومتر)، متواسط (بین ۵۰ تا ۲۵ میکرومتر) و بزرگ (بین ۵۰ تا ۱۰۰ میکرومتر) دسته‌بندی کرد. محققان ریخت شنا سی، گرده ۵۹ گونه *Salvia* را از نظر شکل ظاهری نیز توصیف کردند و نشان دادند که دانه‌های گرده شش‌شیاری، دوکی کشیده، گرد یا کروی و مشبك هستند (Henderson *et al.* 1968).

ریخت‌شناسی دانه گرده *Salvia viridis* L. با استفاده از میکروسکوپ الکترونی و نوری مورد بررسی قرار گرفت که طی نتایج به دست آمده، تزیینات اگزین در این گیاه به صورت مشبك حفره‌دار معروفی گردید (Gráfica 2020) که با نتایج Özler *et al.* (2013) روی این گونه مشابه است. هر دو تحقیق فوق تایید می‌کند که دانه گرده *S. viridis* هم به صورت شش‌شیاری و هم هشت‌شیاری وجود دارد. دانه‌های گرده برخی جنس‌های دیگر نعناییان نیز مورد مطالعه قرار گرفته که شکل آن‌ها براساس اندازه نسبت محور قطبی به استوایی، دوکی تا گرد ( $P/E = 1-1/4$ ), نیمه‌دوکی ( $1/1-3/4$ ) ( $P/E = 1/2-4$ ) و دوکی-کشیده ( $P/E = 1/2-4$ ) دسته‌بندی شده است. منافذ دانه گرده تیره مذکور نیز به صورت سه‌شیاری و شش‌شیاری دیده شده است (Myoung & Yuon 2012). طبق توضیحات فوق، گرده کاکوتی کوهی (*Ziziphora* 2012) به شکل دوکی تا گرد است، در حالی که دانه گرده *Origanum vulgare* دوکی کشیده می‌باشد. تزیینات اگزین دانه گرده در *O. vulgare* ریزمشبك، در *Z. clinopodioides* مشبك و در *Lamium album* L. حفره‌دار است (Badamtsetseg *et al.* 2012). در فلور گرده تایوان، ریخت‌شناسی گرده برخی از گونه‌های متعلق به نعناییان نیز توصیف شده است (Huang 1972). به علاوه، گرده‌های جنس *Phlomis* L. مطالعه شده و با خویشاوندان نزدیک خود مقایسه شده‌اند (Azizian & Moore 1982). به علاوه، با توجه به گوناگونی ویژگی‌های جنینی و فیتوشیمیایی، دسته‌بندی اردمان (۱۹۴۵) توسط برخی دیگر از محة قان نیز مورد حمایت قرار گرفت (Cantino & Sanders 1986).

تحقیقات سیستماتیک نعناییان نشان داد که ویژگی‌های گرده، کرک و برخی مشخصات ریخت‌شناسی می‌توانند ابزاری مفید برای تمایز بین جنس‌های موجود در این تیره و زیرتیره‌های آن باشد (Kayaa & Kutlukh 2007). طبقه‌بندی سطح زیرتیره در تیره مذکور قبل از پایه ریخت‌شناسی دانه گرده معرفی شده

عناییان متعلق به نعناسا نان یکی از بزرگ‌ترین تیره‌های گیاهی راسته فوق است که دارای ۲۲۰ تا ۲۳۶ گونه در جهان می‌باشد (Duarte & Lopes 2007) و بیش از ۷۰۰۰ گونه در جهان می‌باشد (Zhao *et al.* 2021). این تیره، به علت داشتن روغن‌های معطر، چوب، وجود گیاهان زینتی و گیاهان دارویی و همچنین استفاده در پخت و پز و از طرفی اهمیت آن در بوم‌شناسی، مردم‌گیاه شنا سی و فلوره‌ستیک، به یکی از متمایز‌ترین تیره‌های نهاندانگان تبدیل شده (Zhao *et al.* 2021) که مدت‌های است به عنوان یک گروه هدف برای مطالعات بیوسیستماتیک و ریزریخت‌شناسی یا بررسی‌های شیمی‌آرایه شنا سی بسیاری از گیاه‌شناسان مورد توجه قرار دارد (Stevens 2012). نعناییان شامل گیاهان بوته‌ای یا درختی یک‌ساله، دو‌ساله و چندساله، دارای پراکندگی تقریباً جهانی است، اما در سرددترین مناطق با عرض جغرافیایی یا ارتفاع زیاد وجود ندارد (Thorne 1992). این تیره در ایران، دارای ۴۸ گونه، ۴۲۵ گونه (Harley 2004) و ۹۷ زیرگونه است (Ghahremaninejad *et al.* 2017) (Rechinger *et al.* 1982) که ۱۶۵ گونه از این گیاهان بومی هستند. تعداد گونه‌ها از مناطق مرکزی به سمت شرق،

جنوب‌شرق و جنوب کاهش می‌یابد (Jamzad 2012, 2013). ریخت‌شناسی گرده نعناییان در دنیا توسط چندین محقق بررسی شده (Erdtman 1945, Cantino *et al.* 1992, Nepeta L. (Doaigey *et al.* 2018 Ranjbar *et al.* 2015, Salvia L. (Azizian *et al.* 2001 Naderifar *et al.* Dracocephalum L. (Jafari & Nikian 2008 Salmaki *et al.* 2007) Stachys L. (al. 2015 قرار گرفته است. ریخت شنا سی دانه گرده در این تیره تغییرات چشمگیری از نظر اندازه (بسیار کوچک، کوچک و متواسط)، نسبت طول محور قطبی به طول محور استوایی، شکل (دوکی تا گرد، نیمه‌دوکی تا دوکی کشیده) تعداد منافذ (سه‌شیاری در نمای استوایی، شش‌شیاری در نمای استوایی و تزیینات اگزین به شکل های تک مهای (tuberculate)، ریزمشبك (bireticulate) و دوبار مشبك (micro-reticulate)) (Myoung & Yuon 2012, Badamtsetseg *et al.* 2012)

شکل، اندازه و تزیینات اگزین که بیشتر از ریخت‌شناسی دانه گرده در رفع مشکلات سیستماتیک و فیلوژنتیک استفاده می‌شود، به ترتیب توسط اردمان (1945) و Moon (2008) مورد مطالعه قرار گرفته‌اند. تعدادی از آرایه‌هایی که مورد بررسی قرار گرفته شاملاً *Origanum vulgare* L. را شامل

قابل اعتماد آن در شناسایی گونه‌ها پرداخته شد. از سوی دیگر، تاکنون گزارشی از مشخصات ریخت‌شناختی گرده برخی جنس و گونه‌های این تیره با استفاده از میکروسکوپ نوری یا الکترونی در دنیا و ایران وجود نداشت که در این تحقیق، گونه‌هایی مانند *Hymenocrater*, *Otostegia persica* (Burm.) Boiss., *S. hypoleuca* Benth. و *Salvia splendens* Sellow ex Schult. *Phlomis herba-venti* subsp. *lenkoranica* (Knorrung) Rech.f برای نخستین بار گزارش می‌شوند.

### روش بررسی

در پژوهش حاضر، تعداد ۳۳ گونه و دو زیرگونه متعلق به ۲۰ جنس از نعناییان در ایران در بازدیدهای صحرابی در فصل گلدهی از اوایل اردیبهشت ۱۳۹۹ تا اواخر پاییز همان سال جمع‌آوری گردید. سپس نمونه‌ها جهت مطالعه و شناسایی به هرbarیوم دانشگاه گلستان منتقل شدند. شناسایی نمونه‌ها با هرbarیوم دانشگاه ایرانیکا (Rechinger et al. 1982) و فلور ایران، تیره نعناییان (Jamzad 2012, 2013) انجام شد. لازم به ذکر است به علت عدم دسترسی به برخی گونه‌ها، از نمونه‌های هرbarیومی دانشگاه گلستان استفاده گردید (جدول ۱).

است (Erdtman 1945). بر این اساس، این تیره به چهار زیرتیره *Nepetoideae*, *Scutellarioideae*, *Ajugoideae*, *Scutellarioideae*, *Ajugoideae* و *Lamioideae* تقسیم گردیده که زیرتیره‌های *Lamioideae* دارای دانه‌های گرده سه‌شیاری (tricolpate) و *Nepetoideae* دارای دانه‌های گرده شش‌شیاری (hexacolpate) است (Badamtsetseg et al. 2012). این در حالی است که جدیدترین مطالعات براساس ژنوم پلاستیدی کدکننده پروتئین در ۱۷۰ آرایه، وجود ۱۲ زیرتیره در این تیره را پیشنهاد نموده است (Zhao et al. 2021).

از آنجایی که در نعناییان شباهت‌های ریخت‌شناختی مانند شکل گل آذین، شکل، رنگ، اندازه و طرز قرار گرفتن گلبرگ‌ها، شکل، رنگ و پوشش برگ‌های ساقه‌ای و قاعده‌ای، شکل ساقه و غیره، بین گونه‌های یک جنس و یا جنس‌های نزدیک به هم، گاهی باعث سردرگمی در تشخیص و شناسایی آن‌ها می‌گردد، لذا نیاز به بررسی آرایه‌شناختی بیشتری احساس می‌گردد. از طرفی، در ایران به شتر تحقیقات گرده شنا سی روی گونه‌های یک جنس و یا مقایسه درون قبیله‌ای یا بین دو جنس صورت گرفته و مقایسه بین گونه‌های مختلف یک تیره کمتر انجام شده است. بنابراین در تحقیق حاضر، ویژگی‌های دقیق تری از نظر گرده شنا سی بین برخی گونه‌های نعناییان با جمع‌آوری از مناطق رویشی ایران انجام گردید و نیز به ارزیابی کارآیی صفات

جدول ۱- فهرست گونه‌های مورد بررسی (جمع‌آوری شده و هرbarیومی) در ایران

Table 1. List of the studied species (both collected and herbarium specimens) in Iran

Taxon	Location, date, collector, Herbarium No.
<i>Hymenocrater oxyodontus</i> Rech.f.	Golestan prov.: Yanghidareh-Kalaleh, 11 Jul. 2004, Noroozi 1892
<i>Lagochilus cabulicus</i> Benth.	Golestan prov.: Almeh, 15 Jun. 2012, Azizi 7973
<i>Lamium album</i> L.	Golestan prov.: Azadshahr, 23 Apr. 2020, Hasani 7977
<i>Lavandula angustifolia</i> Mill.	Golestan prov.: Gorgan, 26 May 2020, Hajilari 7972
<i>Leonurus cardiaca</i> L.	Gilan prov.: 9 May 2016, Kachoui 4430
<i>Lycopus europaeus</i> L.	Golestan prov.: Almeh, 5 Jul. 2020, Hasani 7974
<i>Melissa officinalis</i> L.	Mazanderan prov.: Noor, Shahrak-e Emam, 11 Jul. 2019, Babaii & Mahdavi 9087
<i>Mentha aquatica</i> L.	Mazanderan prov.: Noor, Shahrak-e Emam, 16 May 2020, Babaii & Mahdavi 7976
<i>Me. longifolia</i> (L.) Hudson	Mazanderan prov.: Amol, 10 Aug. 2020, Hasani 1874
<i>Nepeta cataria</i> L.	Gilan prov.: 20 Jul. 1969, Javaheri 2561
<i>Origanum vulgare</i> L.	Mazanderan prov.: Noor, Shahrak-e Emam, 22 Aug. 2020, Babaii & Mahdavi 7807
<i>Otostegia persica</i> (Burm.) Boiss.	Fars prov.: Shiraz to Jahrom, 9 Jun. 2004, Niyazi 6754

Table 1 (contd)

جدول ۱ (ادامه)

<i>Phlomis herba-venti</i> subsp. <i>lenkoranica</i> (Knorrung) Rech.f.	Khorasan Shomali prov.: Bojnourd, 17 May 2020, Karimi & Malkeshi 7808
<i>Ph. herba-venti</i> subsp. <i>pungens</i> (Wild.) Maire ex DeFillips	Semnan prov.: 5 Jul. 2016, Kaviani 3000
<i>Ph. olivieri</i> Benth.	Golestan prov.: Golestan forest, 17 May 2016, Karimi 7812
<i>Prunella vulgaris</i> L.	Mazanderan prov.: Amol, 10 Sept. 2020, Hasani 9865
<i>Rosmarinus officinalis</i> L.	Golestan prov.: Gorgan, 29 Sept. 2020, Hajilari 9873
<i>Sa. nemorosa</i> L.	Golestan prov.: Gorgan, 12 Jun. 2020, Hasani 9508
<i>Sa. officinalis</i> L.	Golestan prov.: Gorgan, 12 May 2020, Hasani 9506
<i>Sa. splendens</i> Sallow ex Schult.	Khorasan Shomali prov.: Bojnord, 13 Sept. 2020, Malkeshi 9501
<i>Sa. hypoleuca</i> Benth.	Khorasan Shomali prov.: Bojnord, 14 Sept. 2015, Malkeshi 9510
<i>Scutellaria pinnatifida</i> A. Ham.	Semnan prov.: 26 Jul. 2020, Ahad Khani 9511
<i>Sc. tournefortii</i> Benth.	Mazanderan prov.: Amol, 12 May 2020, Hasani 9502
<i>Stachys alpina</i> L.	Mazanderan prov.: Amol, 10 Aug. 2020, Hasani 9503
<i>St. annua</i> (L.) L.	Gilan prov.: 20 Jul. 2013, Heydari 9504
<i>St. byzantina</i> K. Koch.	Mazanderan prov.: Noor, Shahrak-e Emam, 15 Aug. 2020, Babaii & Mahdavi 9505
<i>St. inflata</i> Benth.	Mazanderan prov.: Behshahr, 8 Nov. 2011, Sarmadi 3345
<i>St. lavandulifolia</i> Vahl.	Markazi prov.: Arak, 11 May 1995, Mostafavi 3991
<i>St. turcomanica</i> Trautv.	Khorasan Shomali prov.: Bojnord, 22 May 2005, Kordi 4459
<i>Teucrium hircanicum</i> L.	Mazanderan prov.: Noor, Shahrak-e Emam, 11 Aug. 2014, Janighorban 7780
<i>T. polium</i> L.	Golestan prov.: Golestan forest, 26 May 2008, Karimi 5568
<i>Ziziphora clinopodioides</i> Lam.	Khorasan Shomali prov.: Shirvan, 5 Jul. 2012, Ghaviandam 6240
<i>Z. tenuior</i> L.	Golestan prov.: Marave-tapeh, 11 May 2012, Karimi 1163

ارزیابی دقیق صفات کمی مانند مساحت دانه گرده و سایر صفات کیفی

دانه‌های گرده از ۳-۵ تصویر و نرم‌افزار Mac (Rasband 1997-2021)

- بررسی ریزیخت‌شناسی دانه گرده توسط میکروسکوپ نوری و

الکترونی SEM

برای مشاهده دانه گرده گونه‌ها، ابتدا با استفاده از سوزن تشریح،

شکافی در سطح کیسه بساک‌ها ایجاد کرده و دانه‌های گرده را خارج

ساخته و پس از شستشو با الكل ۷۰٪، زیر میکروسکوپ نوری مشاهده

شد و تعدادی عکس با میکروسکوپ نوری دوربین دار موجود در گروه

زیست‌شناسی دانشگاه گلستان تهیه گردید. ضخامت اگزین، طول

بزرگترین قطر دانه گرده، طول محور قطبی، محور استوایی دانه گرده،

منفذ و تعداد آن‌ها به خوبی قابل تشخیص بودند ولی برای مشاهده

دقیق‌تر اگزین و جبه و همچنین تزیینات سطح آن (Punt et al. 2007)،

دانه‌های گرده را پس از خروج از بساک‌های خشک بلافصله روی پایه

Azimishad et al. 2020، آن را به میکروسکوپ الکترونی (SEM) واقع در مرکز پژوهشی

متالوژی رازی کرج منتقل و تعدادی عکس تهیه شد. تعیین اندازه دانه

گرده، براساس بزرگ‌ترین طول محور قطبی و شکل دانه گرده مطابق با

گرده، براساس بزرگ‌ترین طول محور قطبی و شکل دانه گرده مطابق با

نسبت P/E، انجام گرفت (Erdtman 1945، Punt et al. 2007).

نتیجه - شکل دانه گرده Biophotonics ImageJ استفاده شد.

مطالعه دانه گرده نعناییان مشخص نمود که دانه گرده دارای پنج

شكل دوکی-گردد (perolate-spheroidal)، نیمه‌دوکی (sub-prolate)،

دوکی-کشیده (perolate-spheroidal)، مخروطی-گردد (oblate-spheroidal) و

نیمه‌دوکی-پهنه (suboblate) بود. لازم به ذکر است، برخی از دانه‌های

گرده گیاهان مورد مطالعه به علت عدم تعداد کافی و یا از دست رفتن در

حين آماده‌سازی برای میکروسکوپ الکترونی، فاقد تصاویر الکترونی و

فقط دارای تصاویری با میکروسکوپ نوری بودند (شکل ۱ ZE ZG ZF ۱

.A, F, L, V, ZD). دانه‌های گرده به حالت دوکی-کشیده در

*Ph. herba-venti* subsp. *lenkoranica*, *N. cataria*, *T. hircanicum*, *St. inflata*, *Pr. vulgaris*

(شکل ۱ L و *R. officinalis*) (Shukla et al. 2007).

یا حفره‌دار (شکل ۱، W1، D1) در گونه‌های *S. officinalis* و *Ph. herba-venti* *Ph. herba-venti* subsp. *pungens* *P. vulgaris* و *Ph. olivieri* *La. cabulicus* ریزمشبک (شکل ۱، S1) در گونه *Ph. olivieri* چین دار (شکل ۱، B1)، در گونه *St. annua* *St. lavandulifolia* چین دار (شکل ۱، O1) و در گونه‌های *S. splendens* *Sa. nemorosa*، *O. vulgare*، *Salvia hypoleuca* (T1)، *K1* R1، U1، X1، ZB1 به صورت دوار مشبک وجود داشت (شکل ۱). خاتمه اگزین در گونه‌های مختلف متفاوت بود، به طوری که گونه *Sc. tournefortii* با ۰/۰۵۲ میکرومتر دارای کمترین و با *Lamium album* و *Sc. tournefortii* با ۰/۰۴۱ میکرومتر دارای بیشترین خاتمه و در سایر گونه‌ها، بین ۰/۰۶۴ تا ۰/۰۷۸ میکرومتر متغیر بود. طول محور قطبی (P) دانه گرده گونه *Z. teniour* با طول ۴۱/۶۴ میکرومتر بیشترین طول، در حالی که گونه *St. turcommatica* با ۱۴/۲۸ میکرومتر دارای کمترین طول بود. در سایر گونه‌های مورد مطالعه، طول گرده بین ۱۴/۴۱۵ تا ۳۹/۹۱۵ میکرومتر متغیر بود. محور استوایی (E) دانه گرده گونه *Sa. spelendens* با ۵۱/۲۳۸ میکرومتر بیشترین و گونه *St. turcommatica* با ۱۴/۲۵ میکرومتر دارای بیشترین و گونه *St. annua* دارای کمترین طول بود، در حالی که در بقیه گونه‌ها طول محور استوایی بین ۱۴/۵۱۱ تا ۱۴/۸۸ میکرومتر اندازه‌گیری شد.

- اندازه گرده

با توجه به جدول ۲ و طبقه‌بندی اردمان (۱۹۴۵) می‌توان دریافت که اندازه گرده در گونه‌های متفاوت از کوچک تا متوسط متغیر بود. گونه *O. persica* با ۱۸/۶۶ میکرومتر مربع، دارای بیشترین مساحت بود. در سایر گونه‌ها، مساحت گرده بین ۳۷/۴۴۹ تا ۹۷۷/۴۴۹ میکرومتر مربع متغیر بود. نسبت محور قطبی به محور استوایی گونه *Sa. spelendens* با نسبت ۰/۰۶، *Ph. herba-venti* subsp. *lenkoranica* با نسبت ۱/۵۹±۰/۳۳ و *O. persica* با نسبت ۱/۲۱±۰/۰۶ و ۱/۱۰۰±۰/۰۲ به ترتیب دارای گرده‌های نیمه‌دوکی و دوکی-گرد بودند. در سایر گونه‌ها، این نسبت از ۰/۹۷ تا ۱/۴۲ متغیر و شامل گرده‌های با شکل دوکی-گرد، نیمه‌دوکی، مخروطی-گرد، نیمه‌دوکی-پهن بودند. نسبت محور استوایی به محور قطبی گونه *La. cabulicus* با نسبت ۰/۶۲±۰/۰۳ کمترین و *Sa. spelendens* با ۱/۳۱±۰/۱۰ بیشترین نسبت را دارد. در گونه *Ph. herba-venti* subsp. *lenkoranica* و *O. persica* و *H. oxoydontus* نیز به ترتیب با نسبت‌های ۰/۰۶ و ۰/۰۷۸±۰/۰۲ در گونه‌های *St. annua* و *St. lavandulifolia* نیز به ترتیب با نسبت‌های ۰/۰۶۲ و ۰/۰۷۴ متفاوت بود. صفات کمی دیگر نظریه بیشترین طول و عرض شیارها نیز اندازه‌گیری گردید که در جدول ۲ نشان داده شده است.

*Lamium album* (ZD)، دوکی-گرد در گونه‌های *S. officinalis* *M. aquatica* *Ly. europeus* *La. cabulicus* و *Sc. pinnatifida* *Sa. hypoleuca* *Sa. nemorosa* و نیز در گونه *Ziziphora* (ZF ZG، V J، R ZC، S، H، C، B ۱) نیمه‌دوکی در گونه‌های *Ph. herba-venti* subsp. *pungens* *O. vulgare* *St. annua* *St. lavandulifolia* *St. byzantia* *Ph. olivieri* (شکل ۱) *Ot. persica* و *M. longifolia* *Me. officinalis* *T. polium* *St. alpina* *Le. cardiac* *H. oxydatus* *Lav. angustifolia* (Y، E، D، A) و نیمه‌دوکی-پهن در گونه *S. splendens* مشاهده گردید (شکل ۱).

#### - شیار در دانه گرده

دانه‌های گرده در این تیره از لحاظ تعداد شیار به سه‌شیاری (tri-colpate) و شش‌شیاری (hexa-colpate) دسته‌بندی شدند. دانه‌های گرده سه‌شیاری در گونه‌های *Leonurus cardiac* *Lamium album* همچنین در سه گونه از جنس *St. annua* *St. alpina* *Phlomis* *O. persica* و *La. cabulicus* *St. lavandulifolia* *St. byzantia* وجود داشت (شکل ۱). سایر گونه‌ها دارای دانه‌های گرده شش‌شیاری بودند (شکل ۱). طول شیار گونه *St. alpina* با ۰/۶۴۸ میکرومتر بیشترین طول و گونه *Sa. spelendens* با ۱/۱۷ میکرومتر طول را دارا بودند. در طول شیار گونه *Ph. herba-venti* subsp. *lenkoranica* *H. oxoydontus* و *O. persica* به علت عدم وجود تصویر الکترونی از گرده، اندازه طول شیار میسر نگردید، ولی در سایر گونه‌ها بین ۱۷/۱۴۱ تا ۳۵/۶۵۲ میکرومتر اندازه‌گیری شد.

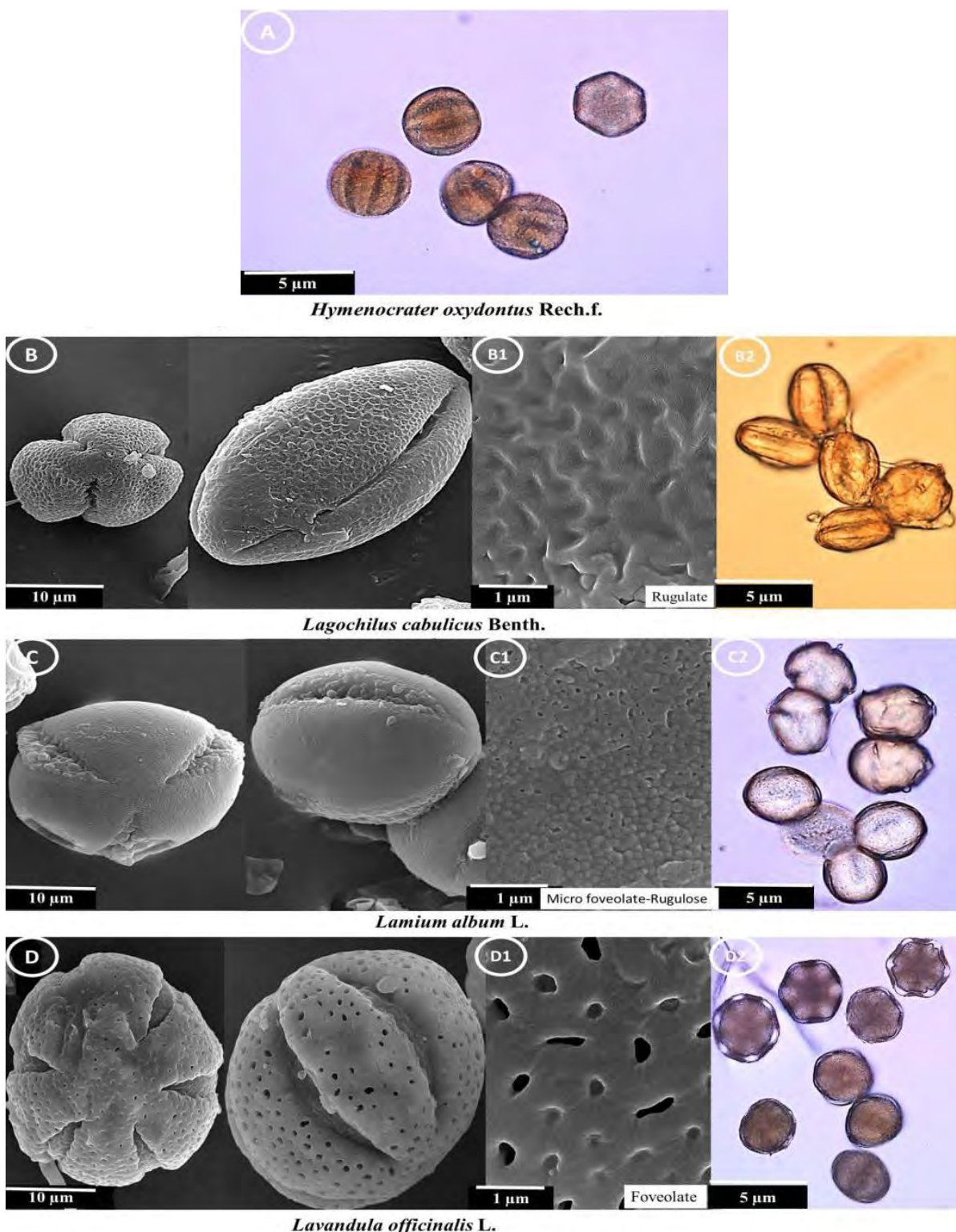
#### - تزیینات و خاتمه اگزین

اگزین در این تیره به صورت مشبک (reticulate) و ریزمشبک (micro-reticulate)، حفره‌دار (foveolate) و چین دار (rugulate)، چین ظریف (rugulose)، دوار مشبک (bi-reticulate)، حفره‌دار چین دار (rugolate-foveolate)، حفره‌دار-چین ظریف (foveolate-rugulose) (reticulate) و حفره‌دار-چین ظریف (rugulate-rugulose) دیده شد. دانه‌های گرده با اگزین مشبک در گونه‌های *St. byzantia* *St. alpina* مشاهده گردید (شکل ۱). در گونه *St. inflata* *A. inflata* *Z. inflata* *J. inflata* *G. inflata* (H1، Z1، J1، G1) در گونه *St. inflata* (rugulose) بود (شکل ۱). سطح اگزین به صورت چین دار ظریف (rugulose) بود. در گونه *St. annua* *St. turcommatica* *M. longifolia* *M. aquatic* *Me. officinalis* *M. longifolia* *M. aquatic* داشت (شکل ۱). در گونه *St. annua* *St. turcommatica* *M. longifolia* *M. aquatic* *Me. officinalis* *M. longifolia* *M. aquatic* *St. inflata* *A. inflata* *Z. inflata* *J. inflata* *G. inflata* (H1، Z1، J1، G1) در گونه *St. inflata* (rugulose) بود (شکل ۱). سطح اگزین به صورت حفره‌دار-چین دار یا ریز حفره‌دار-چین دار ظریف (rugulose-rugulose) داشت (ZE، ZD1، R. officinalis *Le. cardiac* *N. cataria* (ZE)، *T. hircanicum* و *St. alpina*) مشاهده گردید (شکل ۱). در گونه *St. annua* *St. turcommatica* *M. longifolia* *M. aquatic* *Me. officinalis* *M. longifolia* *M. aquatic* *St. inflata* *A. inflata* *Z. inflata* *J. inflata* *G. inflata* (H1، Z1، J1، G1) به صورت حفره‌دار-چین دار ظریف (rugulose-rugulose) داشت (ZE)، *T. hircanicum* و *St. alpina* (Y1، Q1، E1، J1، G1) تزیینات در گونه *Lamium album* به صورت حفره‌دار-چین ظریف (rugulose-rugulose) (شکل ۱)، در گونه‌های *Sc. tournefortii* *La. angustifolia* *Sc. torniflorum* *La. angustifolia* چاله‌دار

## جدول ۲ - صفات کمی دانه گرده گونه‌های مورد بررسی

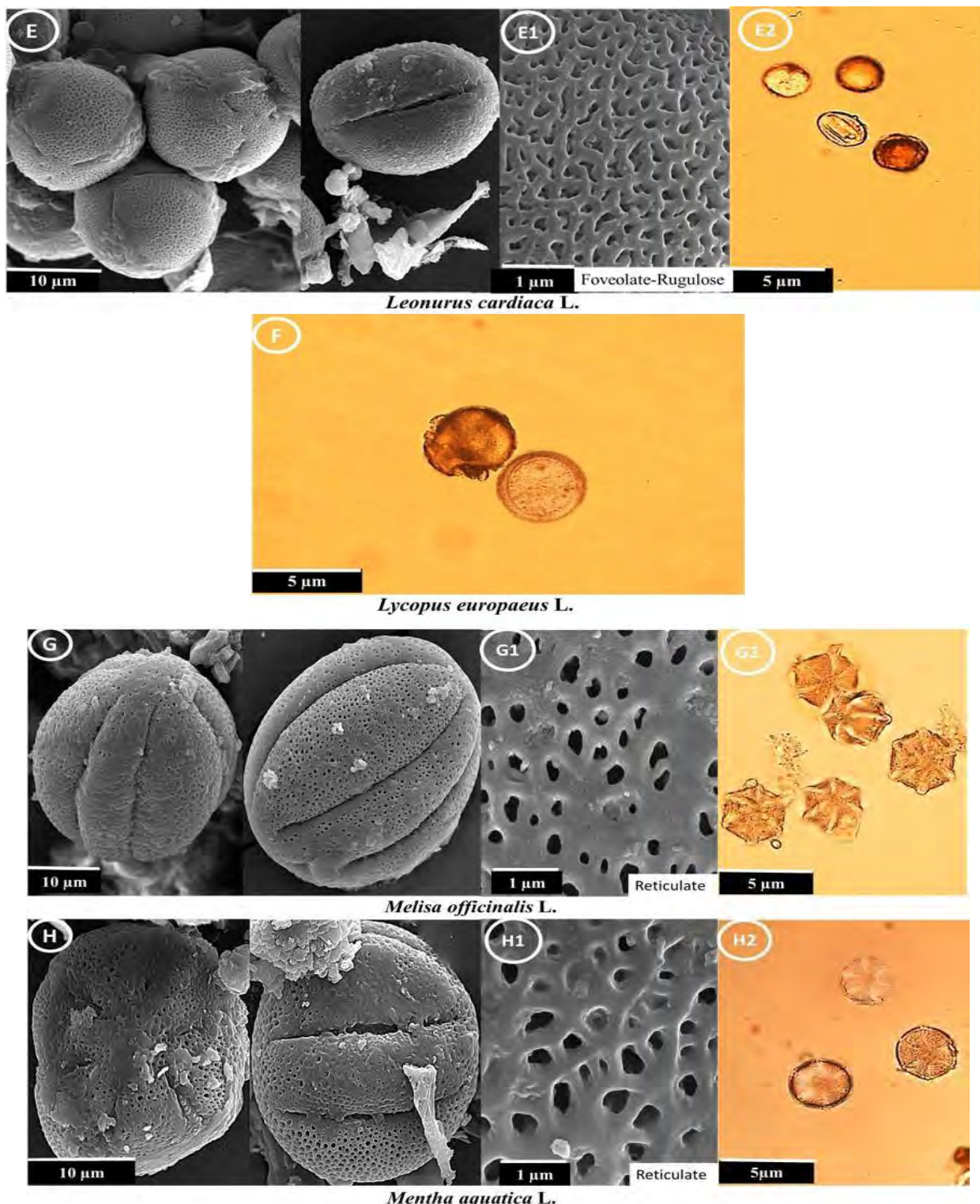
Table 2. Quantitative characters of the pollen grains of the studied species

Taxon	Polar axis length (μm) (P)	Tropical axis length (μm)	Ratio of polar to equatorial axis (P/E)	Pollen area (μm²)	Exin thickness (μm)	Pollen size	Groove length (μm)	Groove width (μm)	Largest groove width (μm)	Smallest groove width (μm)
<i>Hymenocratere oxyodontus</i>	35.41±0.68	35.49±0.72	0.02±1.00	107.7±3.17	0.079±0.004	Medium	-	-	-	-
<i>Lagochilus cabulicus</i>	27.86±4.73	17.20±2.12	0.08±1.10	394.50±13.74	0.084±0.005	Medium	24.95±5.042	0.777±0.106	1.472	0.292
<i>Lamium album</i>	20.99±0.14	19.25±0.46	0.09±1.10	351.12±15.30	0.841±0.006	Small	18.436±0.597	3.035±0.333	4.935	1.025
<i>Lavandula angustifolia</i>	29.79±0.21	30.95±0.43	0.76±0.97	749.59±62.86	0.196±0.014	Medium	26.209±0.803	2.470±0.346	3.935	1.053
<i>Leonurus cardiaca</i>	14.41±0.743	14.51±0.57	0.08±0.98	209.92±55.93	0.099±0.007	Small	17.141±0.915	2.539±0.562	4.259	0.344
<i>Lycopus europeus</i>	33.75±2.96	31.58±1.69	1.06±0.04	94.21±19.18	0.246±0.016	Medium	-	-	-	-
<i>Melisa officinalis</i>	32.63±0.25	29.251±1.46	1.10±0.12	880.89±153.74	0.151±0.01	Medium	33.424±0.212	0.779±0.115	1.903	0.206
<i>Mentha aquatica</i>	0.26±28.98	28.30±0.61	1.021±0.93	741.67±23.37	0.12±0.01	Medium	26.091±0.483	0.921±0.116	1.635	0.321
<i>M. Longifolia</i>	1.59±25.29	21.89±0.27	1.16±0.07	518.81±28.21	0.118±0.01	Medium	21.328±0.574	1.358±0.184	2.126	0.549
<i>Nepeta cataria</i>	27.66±0.43	21.73±3.63	1.315±0.16	699.94±153.58	0.096±0.01	Medium	23.793±2.382	0.825±0.132	1.226	0.468
<i>Origanum vulgare</i>	22.24±78.74	20.73±0.67	1.13±0.22	471.63±9.23	0.096±0.003	Small	18.365±2.419	0.515±0.044	0.658	0.294
<i>Otosstegia persica</i>	0.06±9.21	4.11±1.2	1.21±0.06	66.18±0.11	0.16±0.01	Very small	-	-	-	-
<i>Phlomis herba-venti</i> subsp. <i>lenkoranica</i>	32.16±1.15	21.84±0.04	1.59±0.33	517.17±79.83	0.084±0.004	Medium	26.094±3.710	3.644±0.606	5.744	1.257
<i>Ph. herba-venti</i> subsp. <i>pungens</i>	29.08±0.14	1.59±24.69	1.16±0.12	610.89±52.14	0.087±0.003	Medium	33.82±1.187	1.944±0.4	4.929	0.496
<i>Ph. olivieri</i>	45.28±1.17	0.92±21.50	1.33±0.11	600.27±21.02	0.143±0.0008	Medium	27.451±0.626	1.639±0.335	2.818	0.565
<i>Prunella vulgaris</i>	32.11±0.95	2.20±23.79	1.36±0.08	874.23±162.94	0.121±0.005	Medium	31.160±0.720	1.093±0.134	2.14	0.355
<i>Rosmarinus officinalis</i>	35.34±0.25	0.52±26.06	1.37±0.08	695.43±81.57	0.067±0.003	Medium	35.652±1.012	0.971±0.167	1.894	0.278
<i>Salvia nemorosa</i>	3.05±35.69	34.261±0.97	1.06±0.15	977.45±40.71	0.093±0.004	Medium	32.42±2.187	1.617±0.211	4.11	0.61
<i>Sa. officinalis</i>	29.73±0.05	26.63±0.839	1.12±0.03	715.59±23.33	0.082±0.003	Medium	26.829±1.468	1.997±0.399	3.729	0.906
<i>Sa. splendens</i>	39.92±5.21	51.24±3.05	0.77±0.06	1835.99±278.56	0.131±0.012	Medium	37.743±0.648	1.766±0.167	2.812	0.719
<i>Sa. hypoleuca</i>	32.63±0.86	32.65±1.63	1.004±0.055	886.079±33.26	0.064±0.007	Medium	29.574±2.181	1.790±0.136	2.715	-
<i>Scutellaria pinnatifida</i>	23.29±0.37	20.87±0.7	1.129±0.045	37.43±1.34	0.113±0.009	Small	-	-	-	-
<i>Sc. tournefortii</i>	22.69±2.08	17.76±0.29	1.27±0.10	347.28±40.16	0.052±0.004	Small	25.782±0.204	0.465±0.037	0.733	0.364
<i>Stachys alpina</i>	20.57±0.99	21.24±1.77	0.97±0.04	360.50±40.27	0.102±0.01	Small	17.053±1.346	3.251±0.753	6.056	0.28
<i>St. annua</i>	34.21±0.45	26.98±1.13	1.28±0.05	799.45±17.004	0.087±0.004	Medium	0.234±31.070	3.240±0.412	5.703	0.943
<i>St. byzantina</i>	21.81±1.29	18.02±0.42	1.21±0.08	327.18±16.22	0.075±0.003	Small	23.700±0.160	1.686±0.356	4.704	0.286
<i>St. inflata</i>	37.31±3.003	27.73±0.31	1.34±0.10	847.99±48.93	0.073±0.003	Medium	2.178±30.493	1.906±0.218	3.018	0.352
<i>St. lavandulifolia</i>	28.90±4.43	24.03±0.80	1.17±0.01	631.05±216.80	0.090±0.004	Medium	30.821±0.319	2.470±0.262	3.605	1.021
<i>St. turcomonica</i>	14.78±1.4	14.25±0.5	1.031±0.074	19.9±1.42	0.080±0.008	Small	-	-	-	-
<i>Tecurium hircanicum</i>	31.29±2.59	21.98±0.73	1.42±0.07	529.72±35.67	0.115±0.007	Medium	32.165±1.756	1.538±0.119	1.903	1.142
<i>T. polium</i>	21.49±1.35	17.60±0.97	1.25±0.12	351.69±32.64	0.086±0.006	Small	-	-	-	-
<i>Ziziphora clinopodioides</i>	30.05±1.9	28.16±2.72	1.11±0.06	76.33±10.83	0.129±0.006	Medium	-	-	-	-
<i>Z. tenuior</i>	41.64±1.08	41.88±1.38	1.00±0.05	145.42±44.90	0.100±0.008	Medium	-	-	-	-



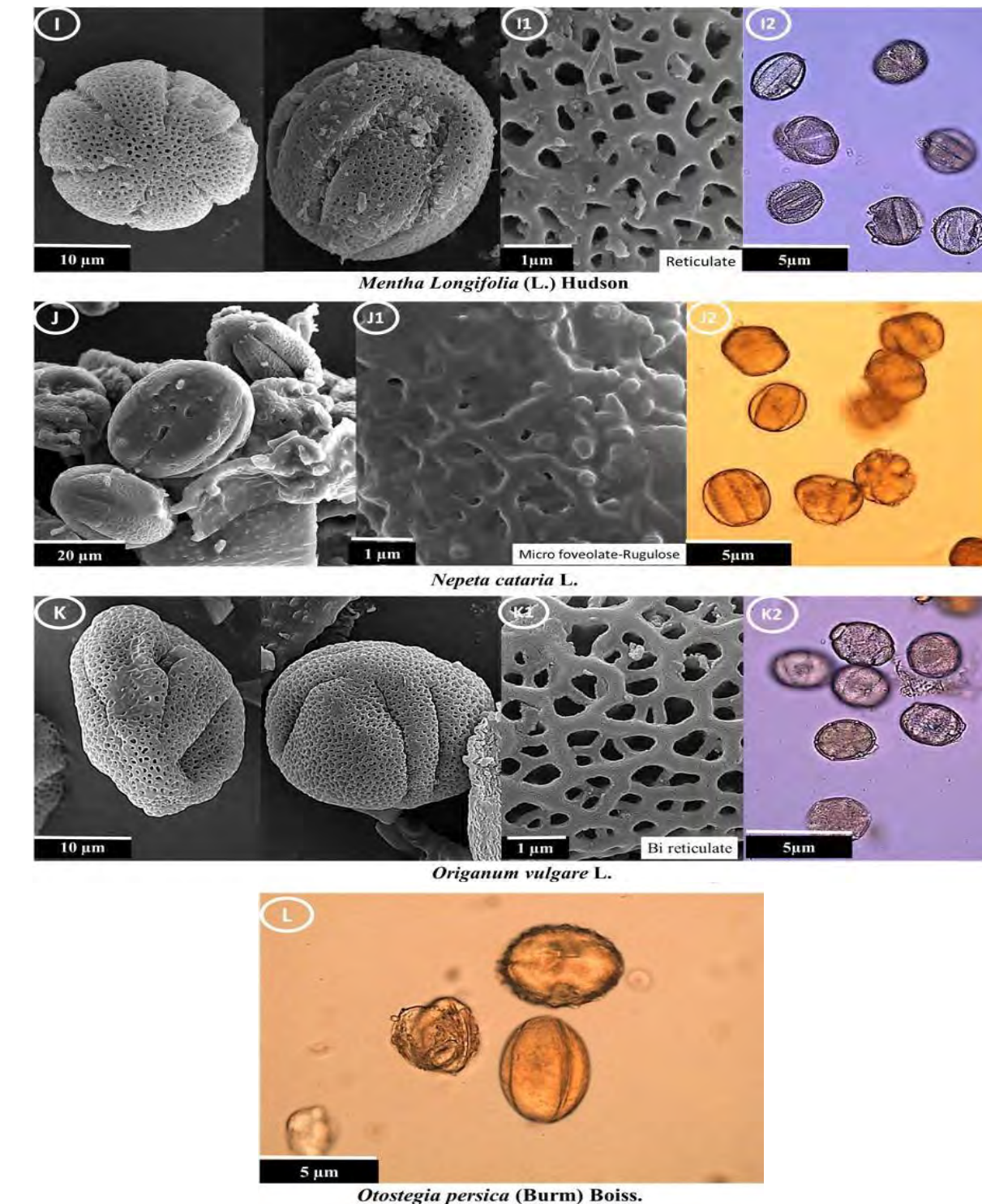
شکل ۱- نمای کلی دانه گرده با استفاده از میکروسکوپ SEM (B, C, D)، تزیینات سطح اگزین از نمای نزدیک (D1, C1, B1)، (D2, C2, B2)، نمای دانه گرده با میکروسکوپ نوری (A).

**Fig. 1.** Polar and equatorial pollen grains using SEM microscope (B, C, D), Surface sculpture in close view (B1, C1, D1), Pollen grains using light microscope (A, B2, C2, D2).



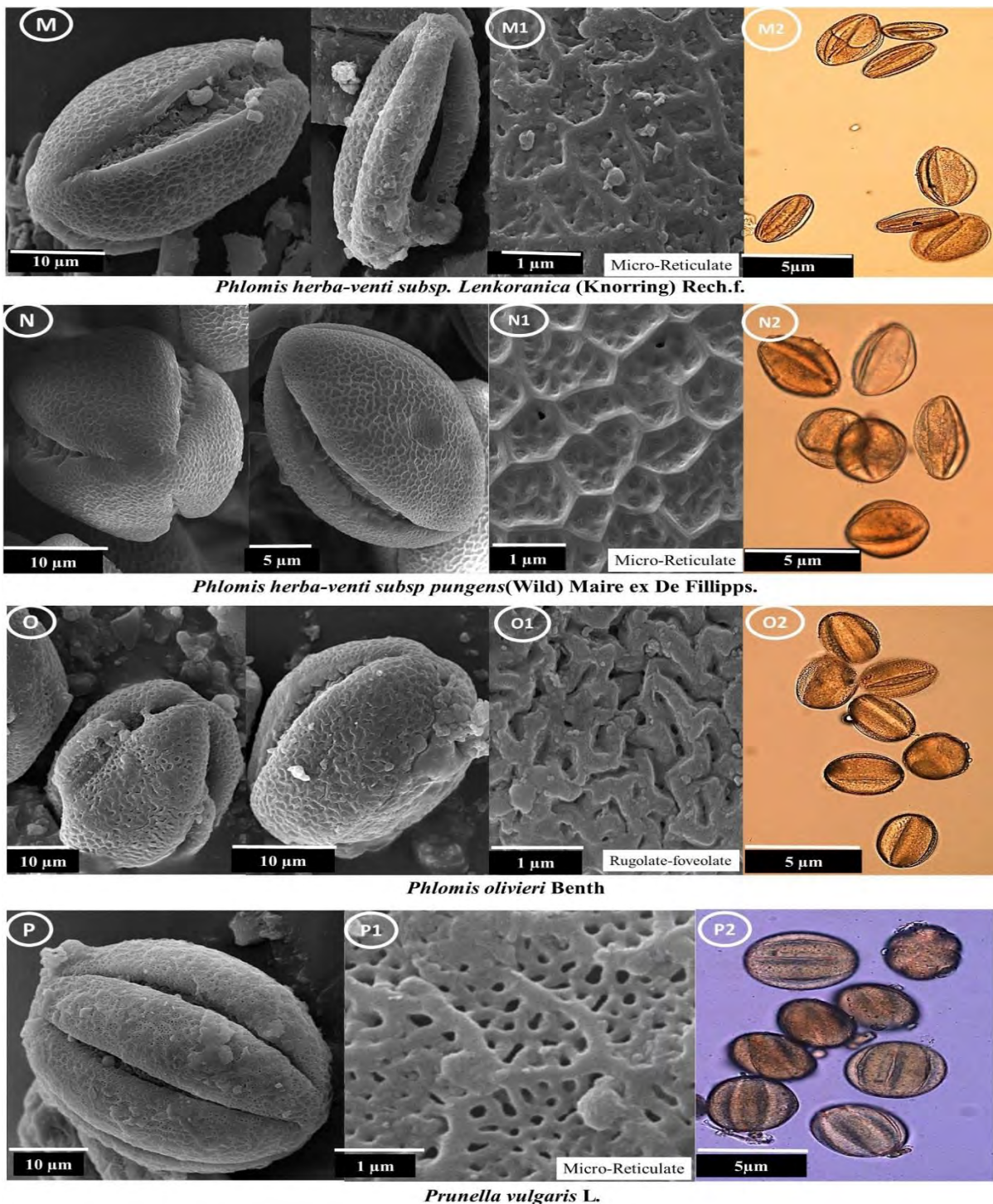
شکل ۱ (ادامه) - نمای کلی دانه گرده با استفاده از میکروسکوپ SEM (E, G, H)، تزیینات سطح اگزین از نمای نزدیک (H2, G2, E2, F)، نمای دانه گرده با میکروسکوپ نوری (H1, G1, E1).

**Fig. 1. (contd.).** Polar and equatorial pollen grains using SEM microscope (E, G, H), Surface sculpture in close view (E1, G1, H1), Pollen grains using light microscope (F, E2, G2, H2).



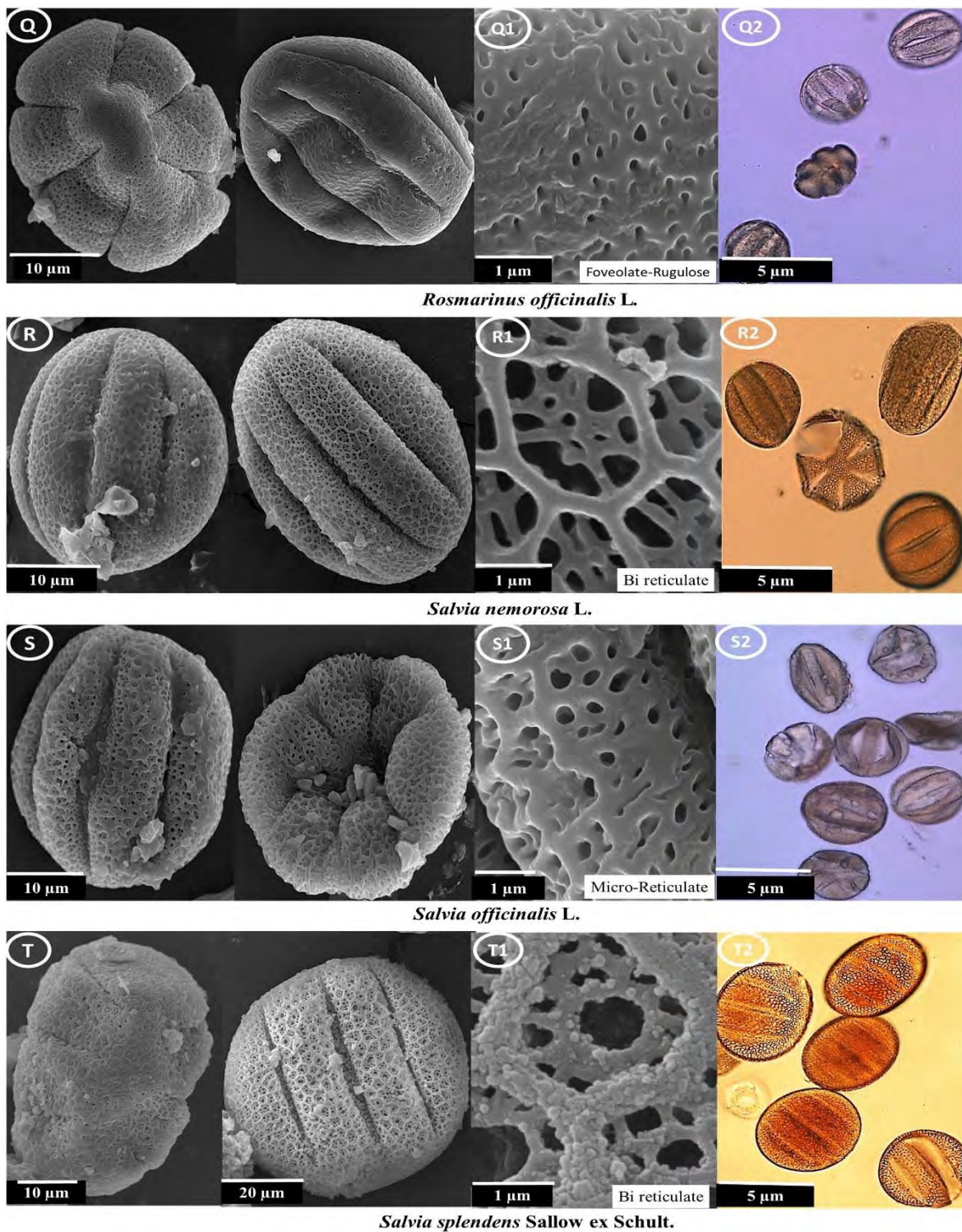
شکل ۱ (ادامه) - نمای کلی دانه گرده با استفاده از میکروسکوپ SEM (I, J, K)، تزیینات سطح اگزین از نمای نزدیک (I1, J1, K1)، نمای گرده با میکروسکوپ نوری (L, K2, J2, I2).

**Fig. 1. (contd).** Polar and equatorial pollen grains using SEM microscope (I, J, K), Surface sculpture in close view (I1, J1, K1), Pollen grains using light microscope (L, I2, J2, K2).



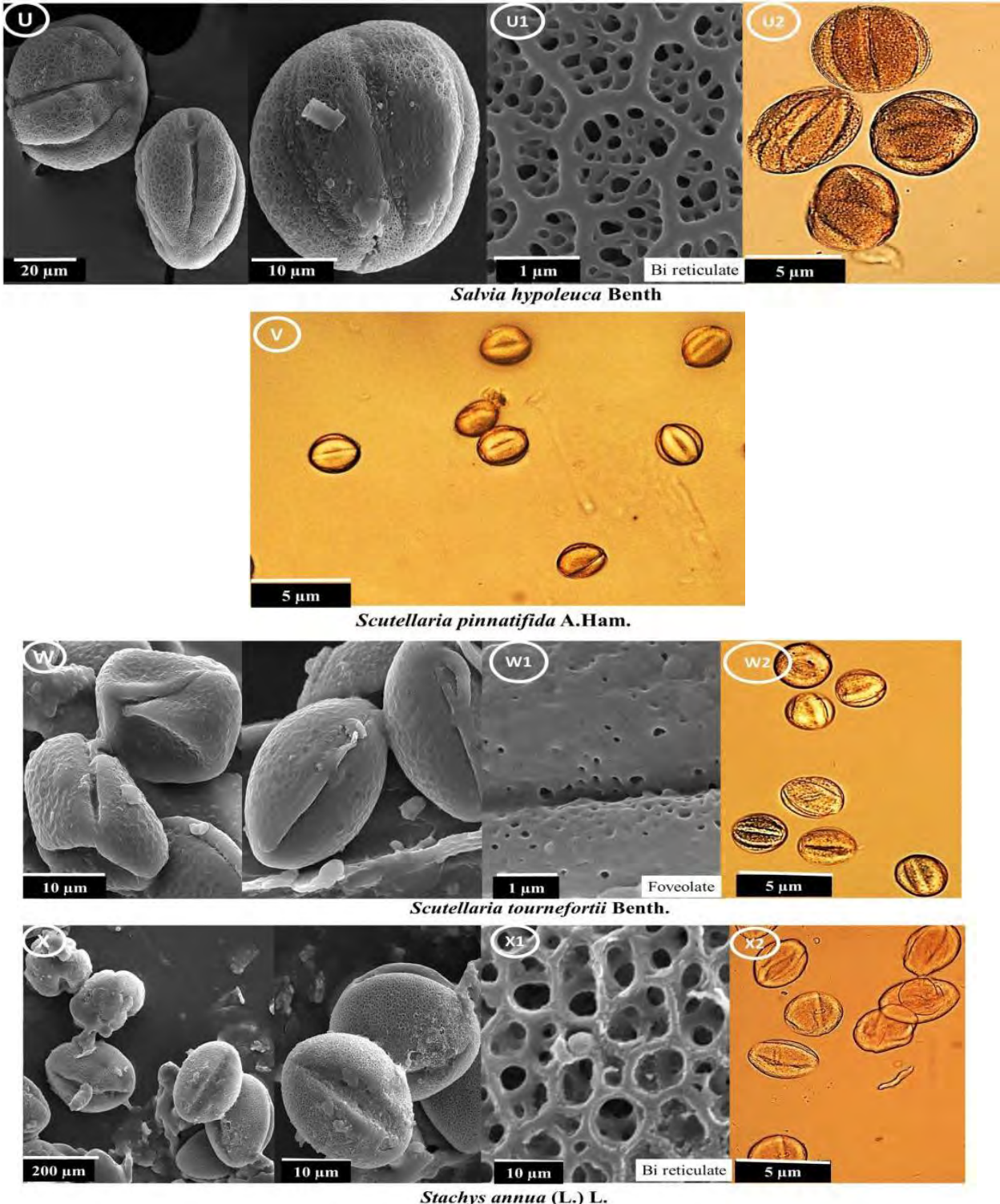
شکل ۱ (ادامه)- نمای کلی دانه گرده با استفاده از میکروسکوپ SEM (M, N, O, P) ، تزیینات سطح اگزین از نمای نزدیک (P1, N1, O1, M1)، نمای دانه گرده با میکروسکوپ نوری (P2, O2, N2, M2).

**Fig. 1. (contd.).** Polar and equatorial pollen grains using SEM microscope (M, N, O, P), Surface sculpture in close view (M1, N1, O1, P1), Pollen grains using light microscope (M2, N2, O2, P2).



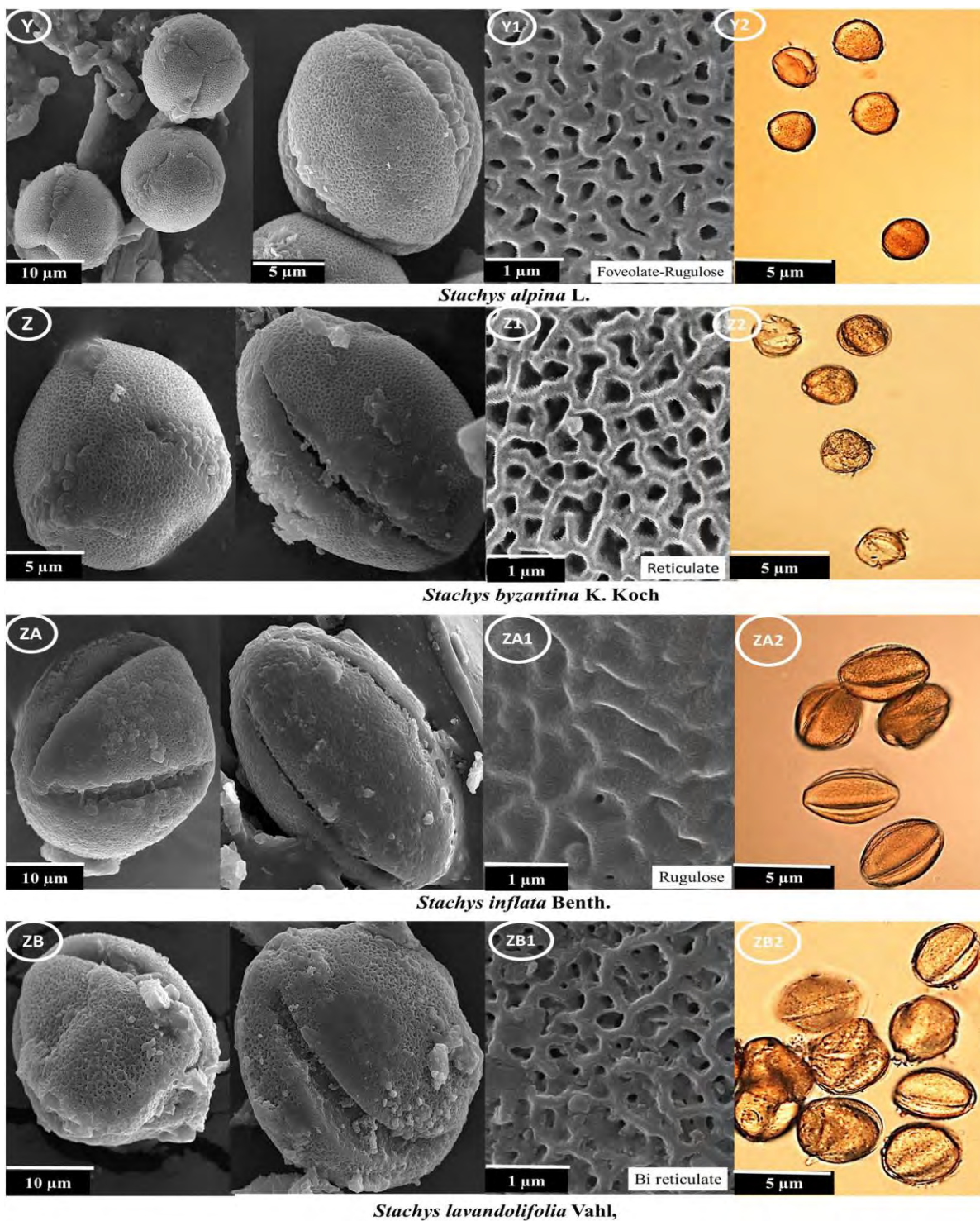
شکل ۱ (ادامه) - نمای کلی دانه گرده با استفاده از میکروسکوپ SEM (Q, R, S, T)، تزیینات سطح اگزین از نمای نزدیک (Q1, R1, S1, T1)، نمای دانه گرده با میکروسکوپ نوری (Q2, R2, S2, T2).

**Fig. 1. (contd.).** Polar and equatorial pollen grains using SEM microscope (Q, R, S, T), Surface sculpture in close view (Q1, R1, S1, T1), Pollen grains using light microscope (Q2, R2, S2, T2).



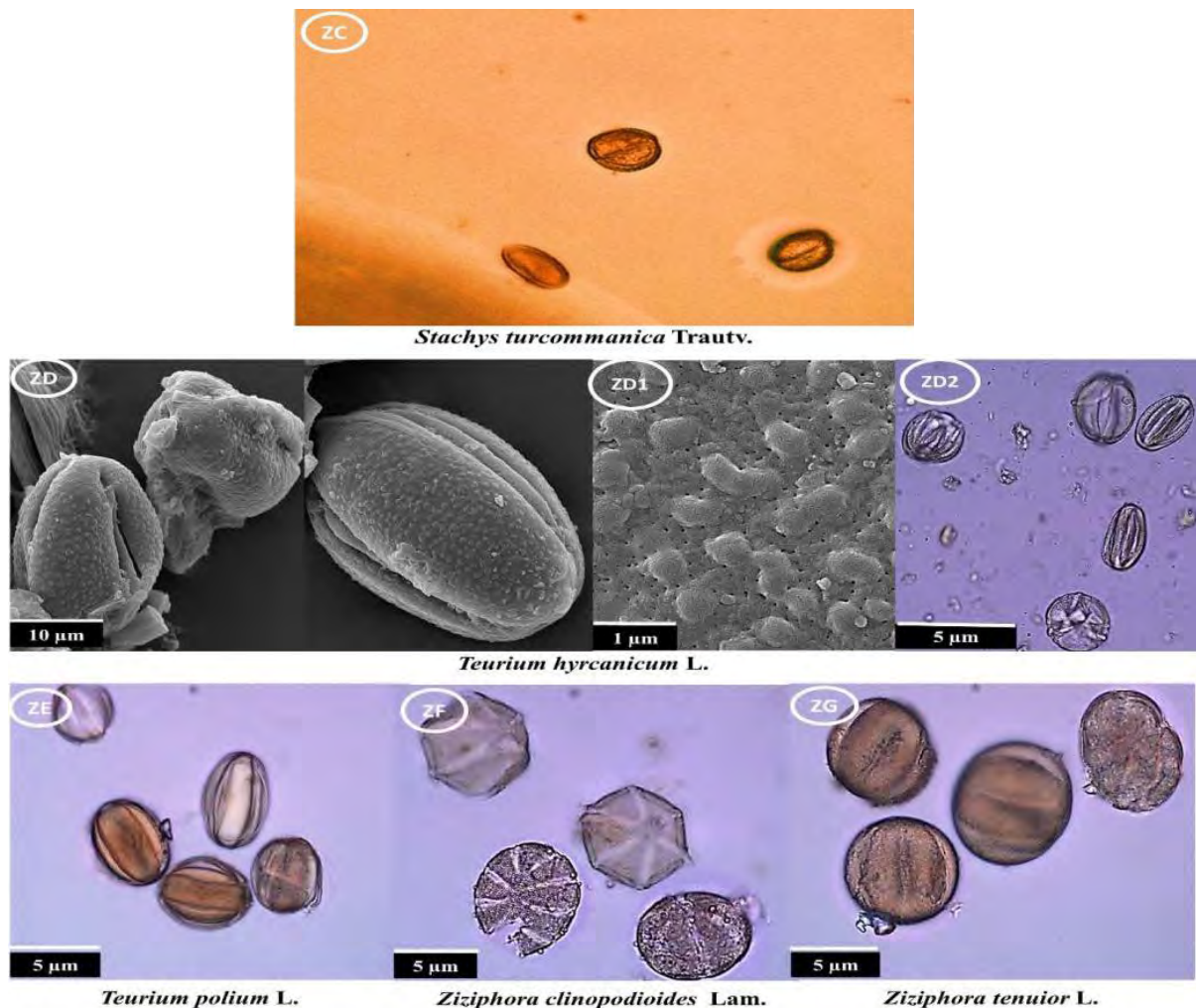
شکل ۱ (ادامه) - نمای کلی دانه گرده با استفاده از میکروسکوپ SEM (U, W, X), تزیینات سطح اگرین از نمای نزدیک (X1, W1, U1), نمای دانه گرده با میکروسکوپ نوری (V, U2, W2, X2).

**Fig. 1. (contd.).** Polar and equatorial pollen grains using SEM microscope (U, W, X), Surface sculpture in close view (U1, W1, X1), Pollen grains using light microscope (V, U2, W2, X2).



شکل ۱ (ادامه) - نمای کلی دانه گرده با استفاده از میکروسکوپ (ZB, ZA, Z, Y) SEM، تزیینات سطح اگزین از نمای نزدیک (ZB2, ZA2, Z2, Y2, Y1)، نمای دانه گرده با میکروسکوپ نوری (ZB1, ZA1, Z1).

**Fig. 1. (contd.).** Polar and equatorial pollen grains using SEM microscope (Y, Z, ZA, ZB), Surface sculpture in close view (Y1, Z1, ZA1, ZB1), Pollen grains using light microscope (Y2, Z2, ZA2, ZB2).



شکل ۱ (ادامه)- نمای کلی گرده با استفاده از میکروسکوپ SEM (ZD)، تزیینات سطح اگزین از نمای نزدیک (ZD1)، نمای گرده با میکروسکوپ نوری (ZG ZF ZE ZD2 ZC) (ZD2 ZC).

**Fig. 1. (contd).** Polar and equatorial pollen grains using SEM microscope (ZD), Surface sculpture in close view (ZD1), Pollen grains using light microscope (ZC, ZD2, ZE, ZF, ZG).

## بحث

کردن گونه‌ها و یا آرایه‌های بالاتر قابل استفاده دانسته‌اند (Badamtssetseg *et al.* 2012). در تحقیق دیگری، ریخت‌شناسی گرده ۵۷ جنس متعلق به دو زیرتیره *Lamioideae* و *Pogostemonoideae* مطالعه شد و جنس‌های مختلف از جمله *Lagopsis* (Bunge ex Benth.) *Lamiophlomis* Kudo و *Phlomis* (Bunge ex Benth.) *Phlomidoschema* (Benth.) Vved. براساس ساختار گرده از هم جدا گردیدند (Abu-Asab & Cantino 1992, 1994).

مطالعه گرده ۳۳ گونه و دو زیرگونه از ۲۰ جنس مورد مطالعه نشان داد که پنج شکل دوکی-گرد، نیمه‌دوکی، دوکی-کشیده، مخروطی-گرد و نیمه‌دوکی-پهن در نعناییان دیده می‌شود. الطایی (Al-taie 2019) نیز در مطالعه خود به چهار شکل گرده دوکی-گرد، نیمه‌دوکی، دوکی-کشیده، مخروطی-گرد و مخروطی اشاره کرده است. محققان در بررسی ۲۱ گونه از ۱۶ جنس این تیره، تنها به سه شکل دوکی-کشیده، گرد و نیمه‌دوکی اشاره کرده‌اند که این مشخصه را برای جدا

(Cantino *et al.* 1992) ولی موقعیت جنس *Mentha* از نظر آرایه‌شناختی پیچیده است (Celenk *et al.* 2008). ریخت‌شناسی گرده و ساختار اگزین ۱۰ گونه جنس *Mentha* با استفاده از میکروسکوپ نوری و میکروسکوپ الکترونی نشان داد که همه گونه‌ها شش‌شیاری و دانه‌دار (granular) و همچنین از نظر شکل (Celenk *et al.* 2008) از دو کی کشیده تا نیمه‌دو کی متفاوت بودند (Al-Taie *et al.* 2012) که با مشاهدات حاصل از تحقیق حاضر (بجز سطح اگزین) همخوانی داشت.

تزریقات سطح اگزین در گونه *Me. officinalis* در تحقیق حاضر به صورت شش‌شیاری و نیمه‌دو کی و اندازه متوسط *Mentha* مشاهده شد که مشخصاتی حد واسطه گونه‌های جنس *Mentha* را نشان می‌دهد. بررسی فیلوزنی اعضای این تیره همچنین نشان داد که گونه مذکور دارای دانه‌های گرده مشبك بوده و از نظر موقعیت تاکسونومیکی آن به لحاظ قرار داشتن در این تیره وضعیتی نامشخص دارد، به طوری که گاه مشخصاتی حد واسطه دو قبیله *Salviniaeae* و *Mentheae* را نشان می‌دهد (Moon *et al.* 2008).

در گونه *Ly. europaeus* در تحقیق حاضر، تزریقات سطح اگزین به صورت شش‌شیاری و دو کی-گردد و اندازه کوچک دیده شد که با گزارش الطایی (Al-taie 2019) مطابقت ولی با گزارش‌های دیگر که اندازه دانه گرده را متوسط و شکل آن را دو کی-مخروطی و یا دو کی-گردد گزارش کرده‌اند مغایرت داشت.

(Moon & Hong 2003, Myoung & Yuon 2012)

به علاوه، در مطالعه گردشناصی مشخص شد که جنس *Mentheae* بیشترین ارتباط را با *Lycopus* در قبیله *Mentha* دارد که به همین دلیل، ریخت‌شناسی گرده در دو جنس *Briquet* 1896، *Lycopus* و *Mentha* (Henderson 1968). گرچه در تحقیق حاضر، به علت عدم وجود گرده کافی از جنس *Lycopus*، عکس‌برداری الکترونی انجام نگرفت ولی با توجه به تصاویر میکروسکوپ نوری که در این تحقیق انجام شد، چنین شباهتی مشاهده نگردید.

در گونه *Lamium album*، تزریقات سطح اگزین حفره‌دار-چین ظریف و دانه‌دار و شکل آن دو کی-گردد بود که با تحقیق ابو-اساب و کانتینو (1992، ۱۹۹۴) که دانه گرده گونه مذکور را سه‌شیاری، دو کی-گردد و دارای سطح اگزین دانه‌دار، توصیف کردنده همخوانی داشت؛ علیرغم

بررسی حاضر نشان داد که دانه‌های گرده سه‌شیاری در *St. alpina*, *Le. cardiaca*, *Lamium album*, *La. cabulicus* و *St. lavandulifolia*, *St. byzantia*, *St. annua* و سه گونه *Phlomis* وجود داشت که نشان‌دهنده این است که دانه‌های گرده در این تیره از لحاظ تعداد شیار در دو گروه سه‌شیاری و شش‌شیاری دسته‌بندی می‌شوند که با نتایج (Al-Taie *et al.* 2012) همخوانی داشت؛ گرچه حالت هشت‌شیاری نیز در بین دانه‌های گرده شش‌شیاری در دو گونه *Ziziphora* مشاهده شد. در این مطالعه، دانه‌های گرده *Otostegia persica* و *Hymenocrater oxyodontus* نیز برای نخستین بار بررسی گردید که به ترتیب دارای سه و شش شیار بودند.

به علاوه، در تحقیق حاضر، مشخص گردید که طول شیار در گونه *Sa. spelendens* با ۳۷/۷۴۳ میکرومتر بیشترین و در گونه *St. alpina* با ۱۷/۰۵۳ میکرومتر کمترین طول را داشت، در حالی که در سایر گونه‌ها بین ۱۷/۱۴۱ تا ۳۵/۶۵۲ میکرومتر متغیر بود (در بیشتر گونه‌ها طول شیار از عرض آن‌ها دو یا سه برابر بزرگتر است). برخی بررسی‌های ریخت‌شناسی دانه گرده گونه‌هایی از جنس‌های *Eremostachys* Bunge, *Ajuga* L., *Salvia* و *Phlomis* با استفاده از میکروسکوپ الکترونی و نوری مشخص شد که شکل گرده *Ajuga* به صورت دو کی-کشیده با شیارهای نوک تیز و سطح اگزین شکافدار و دانه‌های گرده *Lamium* با شیارهای نوک تیز و طول دو برابر عرض بودند (Zafar *et al.* 2006, Erkara *et al.* 2011, Firdous *et al.* 2015). مطالعه اگزین نیز در این تحقیق نشان داد که در تیره مورد نظر، تزریقات سطح اگزین به صورت مشبك و ریزمشبك، دوار مشبك، حفره‌دار، چین‌دار، چین ظریف، حفره‌دار-چین‌دار، حفره‌دار-مشبك و حفره‌دار چین ظریف بودند.

دانه‌های گرده مشبك در گونه‌های *M. aquatic* نیز مشاهده گردید. نتایج محققان نشان داد که ساختار تزریقات اگزین در گرده‌های جنس *Mentha* به دو شکل دیده می‌شود که در *M. pulegium* به صورت دوار مشبك و در بقیه گونه‌های مشبك دیده شد. محققان این صفت را برای کاربردهای طبقه‌بندی ارزشمند دانستند. گرچه محققان در مطالعات خود جنس *Mentha* را در زیرتیره *Nepetoideae* قبیله *Mentheae* قرار داده‌اند

مطالعه حاضر همچنین نشان داد که جنس مریم‌گلی (*Salvia*) دارای تزیینات اگزین در دوار مشبك و ریزمشبك بود. گرچه نحوه آرایش شبکه‌ای جبه در گونه‌های مورد بررسی در این تحقیق به شکل‌های متتنوع پنج‌وجهی ساده در *Sa. splendens* و *Sa. nemorosa* تا پنج‌وجهی زگیل‌دار در *Sa. hypoleuca* از یکدیگر متفاوت بیضوی (گاهی مثلثی) در *Sa. officinalis* به صورت بودند، ولی سطح اگزین در گونه *Sa. officinalis* به صورت *Sa. splendens* ریزمشبك دیده شد. مشخصات سطح اگزین در *Sa. hypoleuca* و *Sa. officinalis* برای نخستین بار توسط مطالعه حاضر گزارش می‌گردد. دانه‌های شش‌شیاری و تزیینات شبکه‌ای نیز توسط رخی محققان تایید شده (Ranjbar *et al.* 2015) که از نظر شکل و اندازه و نوع و آرایش تزیینات در گونه‌های مختلف متفاوت می‌باشند (Jafari & Nikian 2008)، در تحقیق دیگری که روی *Salvia* و آرایه‌های خویشاوند آن انجام شد، مشخص گردید که هترومورفیسم یا چندشکلی در منافذ و تزیینات گرده و همچنین تعداد شیارها و شکل‌های مختلف دانه گرده از منظر نمای قطبی و نمای استوایی دیده می‌شود (Moon *et al.* 2008) و در بررسی رنجر و همکاران (۱۵۰۱) نیز اشاره شده که دانه گرده در این جنس و آرایه‌های خویشاوند آن، شش‌شیاری بوده و فقط گونه *Sa. splendens* متناسب با افزایش سطح پلوییدی دارای شیارهای بیشتری شده است. تحقیق حاضر، نتایج این مطالعات را تایید نمود.

دانه‌های گرده در گونه *N. cataria* تحت بررسی در این تحقیق به صورت موناد و هم قطبی (isopolar)، شش‌شیاری با تزیینات سطح اگزین به صورت ریز‌حفره‌دار-چین‌دار و اندازه متوسط دیده شدند. دانه گرده هشت گونه بومی ایران از جنس *Nepeta* نیز به وسیله میکروسکوپ الکترونی مورد بررسی قرار گرفت و گرده جنس *Nepeta* به شرح موناد، هم قطبی، دوکی-کشیده یا بیضوی، تقریباً به صورت دایره‌ای در نمای قطبی با شش شیار هم اندازه و فاصله یکسان و اندازه متوسط دانه گرده توصیف شدند (Azizian *et al.* 2001). در بررسی‌های گرده‌شناسی دیگری از دانه‌های گرده جنس مذکور، شکل‌های دوکی-گرد یا گرد و شش‌شیاری در *N. cataria* دیده شد (Pădure 2014). نتایج مطالعات فوق الذکر با نتایج به دست آمده در این تحقیق مطابقت داشت.

گزارش محققان که سطح اگزین را ریزمشبك عنوان کرده‌اند (Zafar *et al.* 2006, Erkara *et al.* 2011, Firdous *et al.* 2015) این تزیینات در گونه *Lagochilus cabolicus* دارای دانه گرده سه‌شیاری با سطح اگزین چین‌دار و شکل دوکی-کشیده بود. مطالعات عظیمی‌شاد و همکاران (Azimishad *et al.* 2020) *Lagochilus* نشان داد که تزیینات اگزین در گونه‌های *Lagochilus* به صورت مشبك، دوار مشبك و ریزمشبك و یا به صورت مشبك ناکامل دیده می‌شود که در تحقیق آن‌ها این گونه دارای اگزین در دوار مشبك گزارش شده است.

در بررسی حاضر، در تزیینات سطح اگزین در گونه‌های *Stachys inflata* به تزیینات مشاهده می‌شود؛ چنانچه در گونه *St. alpina* مشبك و در *St. byzantia* حفره‌دار-چین‌دار ظرفی و در گونه‌های *St. lavandulifolia* و *St. annua* به صورت دوار مشبك بود. گرچه گاهی برای تزیینات سطح اگزین در یک گونه گزارش‌های متفاوت اعلام می‌گردد، اما تزیینات اگزین در گونه *S. lavandulifolia* به صورت مشبك (Al-Taie 2019) و ریزمشبك (Salmaki *et al.* 2007) گزارش شده است. تزیینات سطح اگزین در گونه *St. palustris* نیز دوار مشبك گزارش شده (Badamtsetseg *et al.* 2012) و برای گونه *Scutellaria tournefortii* با شکل نیمه‌دوکی و اندازه کوچک، سه‌شیاری و تزیینات اگزین حفره‌دار مشاهده گردیده است که با مطالعات ابو-اساب و کانتینو (۱۹۹۶، ۱۹۹۴) و (2011) گزارش کرده متفاوت است.

علاوه بر این، در این تحقیق، مشخص شد که دو زیر‌گونه *Ph. herba-venti* subsp. *Ph. herba-venti* subsp. *pungens* *lenkoranica* دارای سطح اگرینی به صورت ریزمشبك بودند. مشخصات دانه گرده زیر‌گونه *Ph. herba-venti* subsp. *lenkoranica* با شکل نیمه‌دوکی و اندازه متوسط، سه‌شیاری و نسبت قطبی به استوایی ۱/۵۹ و ضخامت اگزین ۰/۰۸۴ میکرومتر (جدول ۲) برای نخستین بار گزارش می‌گردد، در حالی که اگزین در گونه *Ph. olivieri* به صورت حفره‌دار-چین‌دار قابل مشاهده بود. بررسی حاضر، نمou ساختار سطح اگزین در جنس *Phlomis* را تایید نمود، در صورتی که سایر محققان سطح اگزین را مشبك-منقوط و ریزمشبك گزارش نموده‌اند (Zafar *et al.* 2006, Erkara *et al.* 2011, Firdous *et al.* 2015).

اگزین، ضخامت اگزین، طول و عرض شیارها، فاصله بین شیارها، تعداد شیارها و اندازه گرده حتی گونه‌های یک جنس متفاوت هستند و می‌توانند به عنوان صفاتی مؤثر در جدا کردن گونه‌ها استفاده شوند؛ گرچه برای هر گونه نوع صفات و یا تعداد صفات متمایز کننده متفاوت می‌باشد. مون و همکاران (Moon *et al.* 2009) نیز در بررسی فیلوزنی نعناییان براساس توزیع ویژگی‌های ریخت‌شناختی مانند تزیینات گرده، شکل گرده و شکل و انواع کرک در این تیره به گروه‌های تکنیا دست یافتنید که تا حد زیادی با محدودیت‌های زیرقibile آن مطابقت داشت. همچنین، این محققان نتوانستند هیچ صفت سیناپومورف ریخت‌شناختی را برای هر گروه تشخیص دهند، در حالی که نوروزی و همکاران (Noroozi *et al.* 2021) چنین نتیجه‌ای را در بررسی تیره گل گاوزبان به دست آورده‌اند. از نظر این محققان، گرچه ریخت‌شناصی دانه گرده کمک شایانی در فیلوزنی می‌کند ولی به آن معنا نیست که یک یا چند صفت محدود مانند اندازه و شکل دانه گرده و یا تعداد منافذ برای جدا کردن و تمایز تمامی جنس‌ها، قبیله‌ها و زیرقبیله‌های نعناییان قابل استفاده باشند، بلکه برای هر جنس و یا قبیله، یک یا تعداد متنوعی از صفات متفاوت وجود دارد که ممکن است برای موارد مذکور ارزش تکاملی داشته ولی در موارد مشابه دیگر، این نوع ارزش گذاری وجود نداشته باشد. به همین دلیل، در تحقیقات فیلوزنی تیره‌های گیاهی، ارزش تکاملی صفات گردنهای متفاوت بوده و گاه تنوع در این مسئله به تاثیر عوامل زیست-محیطی و جغرافیایی بر می‌گردد (نوروزی و همکاران ۲۰۲۱). در تحقیق دیگری که روی گردesh ناخنی گونه‌های *Lagochilus* Bunge ex Benth. از نعناییان متوجه بود، نتایج مشابه بالا حاصل شد که تایید نمود برخی صفات در یک گونه و یا جنس ممکن است صفتی آپومورف یا پیشرفتی باشد، حال آن که در گونه و جنس دیگر صفتی اجدادی محسوب گردد. لذا انتخاب صفت تکاملی در این تیره بایستی با دقت صورت گیرد (Azimishad *et al.* 2020).

### سپاسگزاری

این مقاله بخشی از پایان‌نامه دانشجویی کارشناسی ارشد است که به این وسیله نگارندگان از معاونت پژوهشی و فناوری، مالی و اداری و همچنین پشتیبانی و مدیریت گروه زیست‌شناصی دانشگاه گلستان که در حمایت علمی و فراهم کردن امکانات لازم صمیمانه همکاری نمودند، سپاسگزاری و قدردانی می‌گردد.

در بررسی خصوصیات کمی و ریخت‌شناختی گرده گونه‌های جنس *Nepeta* با استفاده از میکروسکوپ‌های الکترونی و نوری گزارش شده که در همه گونه‌ها به صورت شعاعی متقارن، همقطبی و شش‌شیاری، گرده، دوکی-گرده، نیمه‌دوکی و دوکی-کشیده با تزیینات اگزین ریزمشبک و دوبار مشبک بودند (Talebi *et al.* 2020) که براساس این تزیینات، *N. haussknechtii* Bornm. به بخش جدیدی منتقل شد (Razavi *et al.* 2018). این در حالی است که تزیینات اگزین مشاهده شده در این تحقیق با گزارش طالبی (Talebi *et al.* 2020) تطابق نداشت.

بررسی ریخت‌شناصی دانه‌های گرده جنس *Teucrium* در این تحقیق نشان داد که دانه‌های گرده گونه‌های مورد مطالعه، موناد، جورقطب با تقارن شعاعی و دارای سه شیار در سطح استوایی بوده و از نظر شکل به دو صورت نیمه‌دوکی و دوکی-کشیده دیده شدند. تزیینات سطح اگزین مطالعه شده نیز به صورت ریزحفره‌دار-چین‌دار ظریف یا زگیل‌دار دیده شد که با مطالعه سیّار (Sayyar 2014) مطابقت دارد؛ گرچه وی در بررسی گونه‌های کلپوره در پایان‌نامه خود، شکل دانه گرده همه گونه‌ها را به صورت دوکی-گرده و دوکی کشیده و از نظر تزیینات سطح اگزین، به دو نوع زگیل‌دار و چاله‌دار با برآمدگی‌های کمتر از یک میکرومتر و چاله‌دار گزارش نمود که از نظر نوع نامگذاری تزیینات اگزین با این تحقیق متفاوت بود.

### نتیجه‌گیری

در این تحقیق مشخص شد، برخی از گونه‌های تیره تحت بررسی (نعناییان) از نظر اندازه، کوچک و یا بسیار کوچک بودند و دسته‌ای دیگر در اندازه‌های متوسط قرار داشتند که می‌تواند به علت تنوع تعداد کروموزوم‌ها در گونه‌های این تیره باشد. برای تایید این مطلب، مطالعه روی ریخت‌شناصی گرده *Mentha* نشان داد اندازه گرده گونه‌های آن برای روش‌ن ساختن روابط ژنی در قبیله *Mentheae* مفید است و همچنین رابطه‌ای بین سطح پلویید یا تعداد کروموزوم و اندازه گرده در سطح گونه وجود دارد، به طوری که سطوح پلوییدی بالا در جنس *Mentha* به استثنای *M. longifolia* و *M. piperita*، رابطه مستقیمی با افزایش اندازه دانه گرده دارد (Celenk *et al.* 2008). همچنین، در بررسی حاضر مشخص گردید که گونه‌های مورد بررسی از نظر شکل دانه گرده، تزیینات سطح

## References

- Abu-Asab, M.S. & Cantino, P.D. 1992. Pollen Morphology in Subfamily Lamioideae (Labiatae) and its Phylogenetic Implications. Pp. 97–122. In: R.M. Harley & T. Reynolds (eds), Advances in Labiate Science. Royal Botanic Gardens, Kew, Richmond, Surrey, UK.
- Abu-Asab, M.S. & Cantino, P.D. 1994. Systematic implications of pollen morphology in subfamilies Lamioideae & Pogostemonoideae (Labiatae). Annals of the Missouri Botanical Garden 81(4): 653–686.
- Aktaş, K., Özdemirm, C., Özkanp, M. & Baran, P. 2020. Pollen morphology of some Turkish *Salvia* L. (Lamiaceae: Mentheae) species. Planta Daninha 38: 1–14. <https://doi: 10.1590/s0100-83582020380100012>.
- Al-Taie, S.S.K. 2019. Palynological study in some medicinal species of Lamiaceae (Labiatae) family in Iraq. Plant Archives 19(1): 1003–1008.
- Azimishad, F., Sheidai, M., Keshavarzi, M., Talebi, S. & Noormohammadi, Z. 2020. Systematic significance of micromorphological and palynological characteristics in *Lagochilus* Bunge ex Benth. (Lamiaceae) in Iran. Acta Biologica Szegediensis 63(2): 143–155. <https://doi: 10.14232/abs.2019.2.143-155>.
- Azizian, D., Jamzad, Z. & Serpooshan, F. 2001. Pollen morphology & taxonomy of the genus *Nepeta* sect. *Psilonepeta* (Labiatae) in Iran. Iranian Journal of Botany 9(1): 19–26.
- Azizian, D. & Moore, D.M. 1982. Morphological & palynological studies in *Phlomis* L., *Eremostachys* Bunge & *Paraphlomis* Prain (Labiatae). Botanical Journal of the Linnean Society 85: 225–248.
- Badamsetseg, B., Myoung, L.S. & Yuon, L.H. 2012. Pollen morphology of the family Lamiaceae in Mongolia. Journal of Korean Nature 5(2): 169–179. <https://doi: 10.7229/jkn.2012.5.2.169>.
- Briquet, J. 1897. Labiate. Pp. 290–291. In: A. Engler & K. Prantl. (eds), Die natürlichen Planzenfamilien, Nachträge zum II.–IV. Teil. Leipzig: Engelmann.
- Cantino, P.D. 1992. Evidence for a polyphyletic origin of the Labiate. Annals of the Missouri Botanical Garden 79: 361–379.
- Cantino, P.D. & Sander, R.W. 1986. Subfamilial classification of Labiate. Systematic Botany 11: 163–185.
- Cantino, P.D., Harley, R.M. & Wagstaff, S.J. 1992. Genera of Labiate: Status and Classification. Pp. 511–522. In: R.M. Harley & T. Reynolds (eds), Advances in Labiate Science. Royal Botanic Gardens, Kew, Richmond, Surrey, UK.
- Celenk, S. Tamimcilar, G. Bicakci, A. Kaynak, G. & Malyer, H. 2008. A palynological study of the genus *Mentha* L. (Lamiaceae). Botanical Journal of the Linnean Society 157(1): 141–154. <https://doi.org/10.1111/j.1095-8339.2008.00789.x>
- Doagey, A.R., El-Zaidy, M.A., Alfarhan, A.E., Milagy, S. & Jacob, T. 2018. Pollen morphology of certain species of the family Lamiaceae in Saudi Arabia. Saudi Journal of Biological Science 25: 354–360.
- Duarte, M. & Lopes, J.F. 2007. Stem and leaf anatomy of *Plectranthus neochilus* Schltr. Lamiaceae. Revista Brasileira de Farmacognosia-Brazilian Journal of Pharmacognosy 17(4): 549–556.
- Erdtman, G. 1945. Pollen morphology and plant taxonomy IV. Labiate, Verbenaceae and Avicenniaceae. Svensk Botanisk Tidskrift 39: 279–285.
- Erkara, I.P., Kose, Y.B. & Alan, S. 2011. Pollen morphology of some Turkish *Ajuga* L.

- (Lamiaceae) & its taxonomic value. *Bangladesh Journal Botany* 40: 29–33.
- Firdous, S., Ahmed, H., Hussain, M. & Shah, M. 2015. Pollen Morphology of *Ajuga* L., *Lamium* L. and *Phlomis* L. (Lamiaceae) from District Abbottabad Pakistan. *Pakistan Journal of Botany* 47(1): 269–274.
- Ghahremaninejad, F., Ataei, N. & Nejad Falatoury, A. 2017. Comparison of angiosperm flora of Afghanistan and Iran in accordance with APG IV system. *Nova Biologica Reperta* 4(1): 73–97 (In Persian with English abstract).
- Gráfica, P. 2020. 'Planta Daninha'. Pp. 1–14. <https://doi:10.1590/S0100-83582020380100012>.
- Harley, R.M., Atkins, S., Budantsev, A.L., Cantino, P.D., Conn, B.J., Grayer, R., Harley, M.M., Dekok, R., Krestovskaja, T., Morales, R., Paton, A.O. & Upson, T. 2004. Labiateae. Pp. 167–275. In: The Families and Genera of Vascular Plants, Flowering Plants: Dicotyledons (Lamiales except Acanthaceae including Avicenniaceae). J.W. Kadereit (ed.), Vol. VII. Berlin & Heidelberg. Springer Verlag.
- Hasaninejad, M., Jamzad, Z. & Uosofi, M. 2011. A palynological study of *Scutellaria* L. (Lamiaceae) in Iran. *Taxonomy & Biosystematics* 3(7): 33–44.
- Henderson, D.M., Prentice, H. & Hedge, I.C. 1968. Pollen morphology of *Salvia* and some related taxa. *Grana Palynology* 8: 70–85.
- Huang, T.C. 1972. Pollen Flora of Taiwan. National Taiwan University, Botany Department Press. 297 pp.
- Jafari, A. & Nikian, M. 2008. Micromorphological, anatomical and pollen ornamentation study on four desert species of *Salvia* in center of Iran. *Asian Journal of Plant Sciences* 7(8): 736–741.
- Jamzad, Z. 2012. Lamiaceae. *Flora of Iran. Research Institute of Forests & Rangelands, Tehran. Vol. 76.* 1074 pp. (In Persian).
- Jamzad, Z. 2013. A survey of Lamiaceae in the flora of Iran. *Rostaniha* 14(1): 59–67.
- Kaya, A. & Kutluk, H. 2007. Pollen morphology of *Acinos* Miller species growing in Turkey. *Journal of Integrative Plant Biology* 49: 1386–1392.
- Norooz, M., Ghahremaninejad, F., Bogler, D.M., Witherspoon, J., Ryan, G.L., Miller, J.S., Riahi, M. & Cohen, J.I. 2022. Parsing a plethora of pollen: the role of pollen size and shape in the evolution of Boraginaceae. *Cladistics*. <https://doi.org/10.1111/cla.12488>.
- Moon, H.K. 2008. Systematic Studies in Mentheae (Lamiaceae): Morphology, Evolutionary Aspects and Phylogeny. Unpublished, D.Phil. Thesis, K.U., Leuven.
- Moon, H.K. & Hong S.P. 2003. Pollen morphology of the genus *Lycopus* (Lamiaceae). *Annales Botanici Fennici* 40: 191–198.
- Moon, H.K., Vinckier, S., Smets, E. & Huysmans, S. 2008. Comparative pollen morphology and ultrastructure of Mentheae subtribe Nepetinae (Lamiaceae). Review of Palaeobotany and Palynology 149: 174–186.
- Moore, P.D., Webb, J.A. & Collinson, M.E. 1991. Pollen Analysis. Oxford: Blackwell.
- Myoung, L.S. & Yuon, L.H. 2012. Pollen morphology of the family Lamiaceae in Mongolia. *Journal of Korean Nature* 5(2): 169–179. <https://doi:10.7229/jkn.2012.5.2.169>.
- Naderifar, M., Sonboli, A. & Gholipour, A. 2015. Pollen morphology of Iranian *Dracocephalum* L. (Lamiaceae) and its taxonomic significance. *Bangladesh Journal of Plant Taxonomy* 22(2): 99.

- Özler, H., Pehlivan, S., Celep, F., Dogan, M., Kahraman, A. & Yavru, F.A. 2013. Pollen morphology of *Hymenosphace* and *Aethiops* section of the genus *Salvia* L. (Lamiaceae) in Turkey. Turkish Journal of Botany 37: 1070–1084.
- Pădure, I.M. 2014. ‘*Nepeta* (Lamiaceae) morphology and anatomy in Romania and their taxonomic significance’. Plant, fungal and habitat diversity investigation and conservation. Proceedings of IV BBC-Sofia 2006 (<https://www.researchgate.net/publication/268215959>). doi: 10.13140/2.1.2828.5129.
- Punt, P., Hoen, P., Blackmore, S., Nilsson, S. & Thomas, A.L. 2007. Glossary of pollen and spore terminology. Review of Palaeobotany and Palynology 143(1–2): 1–81. <https://doi.org/10.1016/j.revpalbo.2006.06.008>.
- Ranjbar, M., Pakatchi, A., & Radjabian, T. 2015. Pollen morphology study of *Salvia* sect. *Plethiosphace* & sect. *Hemisphace* (Lamiaceae) in Iran. Nova Biologica Reporta 1(2): 16–28 (In Persian with English abstract).
- Rasband, W.S. 1997–2021. ImageJ, National Institutes of Health, Bethesda, Maryland & USA. <http://rsb.info.nih.gov/ij>.
- Razavi, S.M., Ghaffari, A.A. & Bidarlord, M. 2018. Pollen morphology of some *Nepeta* L. species in NW Iran. Botany Letters 165(2): 286–291. doi: 10.1080/23818107.2017.1411830.
- Rechinger, K.H., Hedge, I.C. Ietswaart, J.H., Jalas, J., Mennema, J. & Seybold, S. 1982. Flora Iranica (Labiatae). Akademische Drucku. Verlagsanstalt. Graz, Akademische Verlagsgesellschaft. Salzburg 150: 403–476.
- Salmaki, Y., Jamzad, Z., Zarre, S. & Bräuchler, C. 2007. Pollen morphology of *Stachys* (Lamiaceae) in Iran and its systematic implication. Flora 203: 627–639.
- Sayyar, M. 2014. Morphology of Pollen Grains of the Genus *Teucrium* L. Belongs to the Family Lamiaceae in Ardabil Province, Payam-e Noor University Publication. Tehran, Iran (Dissertation, In Persian).
- Stevens, P.F. 2012. "Lamiales (Lamiaceae Family)". Angiosperm Phylogeny Website. Retrieved 25 March 2015.
- Talebi, S., Nahooji, M., Yarmohammadi, M. & Azizi, N. 2020. Pollen morphological traits analysis of eighteen ‘*Nepeta*’ species in Iran. Mediterranean Botany 41(1): 85–99. <https://doi.org/10.5209/mbot.62919>.
- Thorne, R.F. 1992. Classification and geography of the flowering plants. The Botanical Review 58: 225–327.
- Wagstaff, S.J. 1992. A Phylogenetic Interpretation of Pollen Morphology in the Tribe Mentheae (Labiatae). Pp. 113–124. In: R.M. Harley & T. Reynolds (eds), Advances in Labiate Science. Royal Gardens, Kew, Richmond, Surrey. UK.
- Zafar, M., Ahmad, M. & Khan, M.A. 2006. Pollen flora of Lamiaceae from Rawalpindi-Pakistan. Gomal University Journal Research 22(2): 1–5.
- Zhao, F., Chen, Y.P., Salmaki, Y., Drew, B.T., Wilson, T.C., Scheen, A.C., Celep, F., Bräuchler, C., Bendiksby, M., Wang, Q. & Min, D.Z. 2021. An updated tribal classification of Lamiaceae based on plastome phylogenomics. BMC Biology 19(2): 1–27. <https://doi.org/10.1186/s12915-020-00931-z>.